

Скорость детонации $D = D(\eta_0)$, определяемая (18) как функция массовой доли, имеет максимум при $0 < \eta_0 \leq k$, а при $\eta_0 > k$ функция $D(\eta_0)$ монотонно убывает. Это можно объяснить тем, что тепловыделение от реакции горения $k\xi q$ есть кусочно-линейная функция с максимумом в точке стехиометрии $\eta_0 = k$, скорость же звука $a_f(1)$ — монотонно убывающая функция η_0 .

На рис. 3 приведены экспериментальные данные [9] и результаты расчета по формуле (15) для скорости детонации алюминия в кислороде (1 — расчет [9] по равновесному состоянию продуктов детонации, 2 — по формуле (15), точки — эксперимент [9]). Принималось, что реакция горения алюминия описывается уравнением [10]



Начальные данные: $p_0 = 10^5 \text{ Н/м}^2$, $T_0 = 300 \text{ К}$; термодинамические данные брались из [11, 12]. Предполагалось, что алюминий сгорает на 90% ($\xi = 0,9$). (Как указано в [10], полнота сгорания алюминиевого порошка в кислороде составляет 86—90,6%). Максимум скорости детонации на рис. 3 достигается в точке стехиометрии при $\eta_0 = k = 0,529$.

Итак, в работе предложена модель реагирующей газовзвеси газ — металлические частицы. В модели учитывается процесс окисления и горения частиц, наличие газообразного и конденсированного окислов. В односкоростном и однопотемпературном приближении исследуется распространение ударной волны с зоной химической реакции за ней. Выписаны условия, при которых в смеси реализуется режим нормальной и пересжатой детонации. Получена зависимость для определения скорости детонации в газовзвеси. Проведено сравнение экспериментальных данных с результатами расчетов.

Поступила в редакцию 10/XII 1982

ЛИТЕРАТУРА

1. Н. Н. Яценко, Р. И. Солоухин, А. И. Паныриш и др. Сверхзвуковые двухфазные течения в условиях скоростной неравненности частиц. Новосибирск: Наука, 1980.
2. А. Е. Медведев, А. В. Федоров, В. М. Фомин. ФГВ, 1982, 18, 3.
3. А. И. Иващенко, А. Г. Кутушев, Р. И. Нигматуллин. — В кн.: Итоги науки и техники. Сер. Механика жидкости и газа. Т. 16. М.: ВИНИТИ, 1981.
4. П. Б. Вайнштейн, Р. И. Нигматуллин. ПМТФ, 1974, 4.
5. А. Г. Мерзляков. РТК, 1975, 13, 2.
6. М. Е. Деревягина, Л. И. Стесик, Э. А. Федорин. ФГВ, 1978, 14, 5.
7. А. Ф. Баум, Л. П. Орленко и др. Физика взрыва/Под ред. К. П. Станюковича. М.: Наука, 1975.
8. Л. И. Стесик. ФГВ, 1974, 7, 1.
9. В. А. Страусс. РТК, 1968, 6, 9.
10. В. М. Мальцев, М. И. Мальцев, Л. Я. Каипоров. Основные характеристики горения. М.: Химия, 1977.
11. Свойства элементов/Под ред. Г. В. Самойлова. Т. 1, 2. М.: Металлургия, 1976.
12. Физико-химические свойства окислов/Под ред. Г. В. Самойлова. М.: Металлургия, 1978.

К ТЕОРИИ СЛОЕВОГО ГОРЕНИЯ

Г. С. Сухов, Л. П. Ярин
(Ленинград)

Развитие и практическое освоение метода самораспространяющегося высокотемпературного синтеза стимулировали в последние годы проведение многочисленных исследований, в частности расчетно-теоретических,

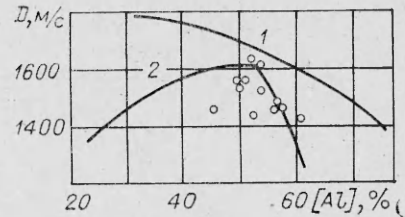


Рис. 3.

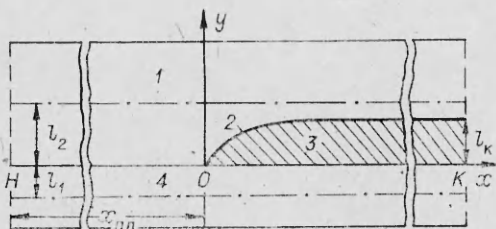


Рис. 1. Схема развития горения в модельной среде.
1 — твердый реагент; 2 — фронт горения;
3 — пленка окислителя; 4 — газособразный окислитель.

химически активных газов [1—3]. В этих работах процессы тепло- и массопереноса в гетерогенной среде рассмотрены в рамках квазигомогенной модели, согласно которой, с одной стороны, химически активные фазы представляются в виде взаимопроникающих континуумов, а с другой — учитываются факторы, присущие реальным гетерогенным системам, такие как фильтрация окислителя к горящим частицам и межфазное взаимодействие. Интенсивность последнего определяется феноменологическим макрокинетическим законом вида

$$W = z p^v f(\eta) \exp(-E_a/RT), \quad (1)$$

где p , T — давление и температура; η — полнота превращения твердого реагента; $f(\eta) = (\eta_0 + \eta)^{-n}$ при $\eta < 1$; $f(1) = 0$ — функция выгорания; E_a — энергия активации; R — универсальная газовая постоянная; z , v , n , η_0 — кинетические коэффициенты.

Выполненные исследования позволили выявить ряд специфических закономерностей, присущих данному явлению, в частности послойный устойчивый и автоколебательный режимы, горение при полном и неполном превращении твердого реагента, волны догорания и др., существование которых впоследствии экспериментально подтверждено [4, 5].

Для горения пористых сред характерна многостадийность процесса подвода окислителя к зоне реакции, включающая наряду с фильтрацией сорбционную стадию, т. е. адсорбцию окислителя поверхностью твердой фазы и его диффузию через нарастающую пленку продукта. Во многих практически важных случаях (горение крупнодисперсных частиц с образованием пленок конденсированного продукта) диффузионная стадия играет определяющую роль в механизме теплового распространения пламени. Эта роль, однако, не может быть раскрыта в рамках квазигомогенной постановки, оперирующей набором эмпирических констант в макрокинетическом законе (1), не связанных явно с сорбционными характеристиками среды и отражающими лишь совокупное влияние адсорбции, диффузии и собственно химической реакции на скорость образования продукта. В основу детального анализа процесса должна быть положена гетерогенная модель, учитывающая наряду с фильтрацией последующие стадии — адсорбцию и диффузию окислителя в твердой фазе¹. Такой подход в отличие от квазигомогенной постановки позволяет в явном виде определить скорость горения как функцию структурных характеристик дисперсной среды.

Ниже с этих позиций в квазистационарном приближении рассматривается задача о распространении горения в слое пористого вещества с адиабатными газонепроницаемыми боковыми стенками и горячим торцом. Для анализа используется представление гетерогенной среды в виде упорядоченной совокупности слоев различных фаз, в данном случае — твердой и газообразной (рис. 1). При этом структура фаз характеризуется линейными размерами l_1 и l_2 , по смыслу эквивалентными эффективным значениям поперечника пор и частиц.

В соответствии с моделью реакционной диффузии [6] химическая реакция предполагается локализованной на поверхности контакта продукт — металл, где в условиях, близких к равновесным, происходит образование

¹ При высоких температурах, свойственных горению, собственно химические реакции в твердой фазе протекают, как правило, очень быстро, и скорость превращения на фронте горения практически определяется диффузионной кинетикой.

продукта и выделяется теплота реакции. Пренебрегая в дальнейшем растворимостью газа в твердом реагенте, будем отождествлять фронт реакции с подвижной границей окисной пленки, пределами которой ограничивается область диффузионного переноса.

Очевидно, что тепловое распространение пламени в данном случае есть результат совокупного действия теплопередачи, диффузии, адсорбции и фильтрации. Поэтому скорость горения может быть определена лишь в итоге совместного решения соответствующих краевых задач. Рассмотрим механизм диффузионного переноса в твердой фазе. Его интенсивность непосредственно зависит от величины коэффициента диффузии, являющейся функцией концентрации диффундирующего вещества и температуры

$$D = zf(c) \exp(-E/RT), \quad (2)$$

где D — коэффициент диффузии; c — концентрация; T — температура; E — энергия активации диффузии; R — универсальная газовая постоянная.

Ограничимся в дальнейшем случаем, когда температурная зависимость коэффициента диффузии играет определяющую роль. Это обстоятельство позволяет пренебречь в (2) функциональной зависимостью $f(c)$ по сравнению с экспоненциальной и обоснованно воспользоваться приемом «обрзания» диффузионной кинетики при некоторой температуре T_* , близкой к конечной T_∞ .

В системе координат, связанной с точкой «обрзания» (см. рис. 1), диффузионная задача может быть сформулирована следующим образом:

$$\begin{aligned} u \frac{\partial c}{\partial x} &= \frac{\partial}{\partial x} \left(D \frac{\partial c}{\partial x} \right) + \frac{\partial}{\partial y} \left(D \frac{\partial c}{\partial y} \right), \\ y = 0: \quad c &= c_*, \\ y = y_S(x): \quad c &= c_S, \\ x = x_n: \quad \frac{\partial c}{\partial x} &= \frac{\partial c}{\partial y} = 0. \end{aligned} \quad (3)$$

Здесь u — скорость распространения горения; x, y — продольная и поперечная координаты; индексы $*$, S , и n означают: поверхность раздела фаз, фронт реакции, начальное и конечное состояние на холодном и горячем торцах слоя пористого вещества.

В сравнении со стадией диффузии предшествующие ей процессы адсорбции и десорбции протекают очень быстро, и состояние на поверхности твердой фазы $y = 0$ рассматривается как термодинамически равновесное. В общем случае концентрация растворенного у поверхности твердой фазы газа определяется функцией [7]

$$c_* = p^n b(T_*),$$

где $b(T_*)$ — константа растворимости². Концентрация окислителя c_S на фронте горения также может быть вычислена термодинамическим методом в равновесном приближении как функция давления и температуры

$$c_S = c(T_S, p_S).$$

Для описания процесса теплопереноса в слое конденсированной фазы воспользуемся уравнениями теплопроводности с соответствующими граничными условиями

$$\begin{aligned} u \frac{\partial T}{\partial x} - \frac{\partial}{\partial x} \left(a_j \frac{\partial T}{\partial x} \right) + \frac{\partial}{\partial y} \left(a_j \frac{\partial T}{\partial y} \right), \quad j = m, n, \\ x = x_n: \quad T = T_n, \quad x = x_m: \quad \frac{\partial T}{\partial x} = \frac{\partial T}{\partial y} = 0, \end{aligned}$$

² Коэффициент $n = 1$, когда переход газа в твердый раствор не сопровождается распадом его молекул; $n = 0,5$ для двухатомного газа, молекулы которого диссоциируют в процессе растворения.

$$y = 0: T = T_*, \quad y = y_s(x): T = T_s,$$

$$y = l_2: \frac{\partial T}{\partial y} = 0.$$

Здесь a_i — коэффициент температуропроводности; индексы м и п отвечают соответственно твердому реагенту и конденсированному продукту; l_2 — полуширина слоя твердой фазы.

Согласно принятой модели, процесс фильтрации осуществляется в слоевых порах шириной $2l_1$, предполагается одномерным и характеризуется сорбционными потерями через поверхность раздела фаз. Ограничиваясь приближением Дарси, при умеренных давлениях окислителя $\rho \ll \rho_n$ получим

$$\frac{dp}{dx} = -\frac{u_\Phi}{k_\Phi}, \quad l_1 \frac{d\Phi}{dx} = -\Phi(x), \quad (4)$$

где ρ — плотность окислителя; u_Φ — скорость фильтрации; k_Φ — коэффициент фильтрации (полагается постоянным); $\Phi(x)$ — удельная скорость адсорбционного переноса. Используя связь между параметрами состояния $p = \rho R_t T$ (R_t — газовая постоянная), из соотношений (4) получим уравнение фильтрации

$$\frac{d}{dx} \left(\frac{1}{T} \frac{dp^2}{dx} \right) = \frac{2R_t}{l_1 k_\Phi} \Phi(x), \quad (5)$$

для интегрирования которого следует воспользоваться граничными условиями

$$x = x_h, \quad p = p_h, \quad x = x_k: \quad \frac{dp}{dx} = 0,$$

соответствующими фильтрации навстречу волне горения.

Входящие в задачу параметры u , T_s , $\Phi(x)$ заранее неизвестны и могут быть определены из соотношений материального и теплового баланса на фронте горения и поверхности раздела фаз. В приближении $\rho \ll \rho_n$ на поверхности $y_s(x)$ потоки компонентов связаны между собой следующим образом:

$$\left(\frac{\partial c}{\partial x} \frac{dy_S}{dx} - \frac{\partial c}{\partial y} \right)_S = \frac{c_s \rho_n + \mu \rho_m}{\rho_n D_S} \frac{dy_S}{dx},$$

где μ — стехиометрический коэффициент реакции. Пренебрегая кондуктивной теплопередачей по растворенному в твердой фазе газу и различием в значениях удельной теплоемкости компонентов, получим уравнение теплового баланса на фронте

$$a_m \left(\frac{\partial T}{\partial x} \frac{dy_S}{dx} - \frac{\partial T}{\partial y} \right)_{m,S} - (1 + \mu) a_n \left(\frac{\partial T}{\partial x} \frac{dy_S}{dx} - \frac{\partial T}{\partial y} \right)_{n,S} = \frac{u q}{c_T} \frac{dy_S}{dx},$$

где c_T — удельная теплоемкость; $a_i = \lambda_i / c_{T,i}$ — коэффициент температуропроводности; q — тепловой эффект реакции.

Допущения о квазистационарности процесса и идеальности теплового контакта между газом в порах и поверхностью твердой фазы предполагают выполнение на ней следующих условий:

$$\Phi(x) = -\rho_n D_* \left(\frac{\partial c}{\partial y} \right)_*,$$

$$\lambda_n \left(\frac{\partial T}{\partial y} \right)_* + q_{ad} \Phi(x) = l_1 c_T \frac{d}{dx} (\rho u_\Phi T_*) + l_1 \lambda \frac{d^2 T_*}{dx^2},$$

где q_{ad} — удельная теплота адсорбции; λ — коэффициент теплопроводности газа.

Для дальнейшего анализа удобно перейти к безразмерным переменным, приняв в качестве масштабов времени продольной и поперечной дли-

ны, скорости, давления, коэффициентов диффузии и температуропроводности соответственно величины:

$$t^0 = l_{\text{K}}^2/D^0, \quad l_x^0 = u^0 t^0, \quad l_2, \quad u^0 = \sqrt{a^0/t^0}, \\ p_{\text{n}}, \quad D^0 = z \exp(-E/RT_{\text{H}}), \quad a^0 = a_{\text{m}}.$$

В новых переменных $\xi = x/l_x^0$, $\eta = y/l_2$, $U = \dot{u}/u^0$, $\pi = p/p_{\text{n}}$,
 $\Theta = \frac{E(T - T_{\text{n}})}{RT_{\text{H}}^2}$ уравнения задачи принимают следующий вид:

$$U \frac{\partial c}{\partial \xi} = \delta \frac{\partial}{\partial \xi} \left(\bar{D} \frac{\partial c}{\partial \xi} \right) + \eta_{\text{K}}^2 \frac{\partial}{\partial \eta} \left(\bar{D} \frac{\partial c}{\partial \eta} \right), \quad (6)$$

$$\eta = 0: \quad c = c_{*}, \quad \eta = \eta_S: \quad c = c_S, \quad \xi = \xi_{\text{K}}: \quad \frac{\partial c}{\partial \xi} = \frac{\partial c}{\partial \eta} = 0,$$

$$\bar{D} = D/D^0 = \exp \left(\frac{\Theta}{1 + \beta \Theta} - \frac{\Theta_{\text{K}}}{1 + \beta \Theta_{\text{K}}} \right), \quad \delta = D^0/a_{\text{m}}, \quad \beta = RT_{\text{H}}/E;$$

$$U \frac{\partial \Theta}{\partial \xi} = \frac{\partial}{\partial \xi} \left(\bar{a}_j \frac{\partial \Theta}{\partial \xi} \right) + \frac{\eta_{\text{K}}^2}{\delta} \frac{\partial}{\partial \eta} \left(\bar{a}_j \frac{\partial \Theta}{\partial \eta} \right), \quad (7)$$

$$\xi = \xi_{\text{H}}: \quad \Theta = 0, \quad \xi = \xi_{\text{K}}: \quad \frac{\partial \Theta}{\partial \xi} = \frac{\partial \Theta}{\partial \eta} = 0, \quad \eta = 0: \quad \Theta = \Theta_{*},$$

$$\eta = \eta_S: \quad \Theta = \Theta_S, \quad \eta = 1: \quad \frac{\partial \Theta}{\partial \eta} = 0, \quad \bar{a}_j = a_j/a_{\text{m}};$$

$$\frac{d}{d\xi} \left(\frac{1}{1 + \beta \Theta_{*}} \frac{d\pi^2}{d\xi} \right) = \bar{\omega} \bar{\Phi} \eta_{\text{K}}^2, \quad (8)$$

$$\xi = \xi_{\text{H}}: \quad \pi = 1, \quad \xi = \xi_{\text{K}}: \quad \frac{d\pi}{d\xi} = 0,$$

$$\bar{\Phi} = l_2 \Phi / \rho_{\text{n}} D^0, \quad \omega = 2R_{\text{P}} T_{\text{H}} \rho_{\text{n}} a_{\text{m}} l_2 / k_{\text{Ф}} p_{\text{n}}^2 l_1;$$

$$\left(\delta \frac{\partial c}{\partial \xi} \frac{d\eta_S}{d\xi} - \eta_{\text{K}}^2 \frac{\partial c}{\partial \eta} \right)_S = \frac{[\mu + (1 + \mu) c_S] U}{(1 + \mu) \bar{D}_S} \frac{d\eta_S}{d\xi}; \quad (9)$$

$$\left(\frac{\partial \Theta}{\partial \xi} \frac{d\eta_S}{d\xi} - \frac{\partial \Theta}{\partial \eta} \frac{\eta_{\text{K}}^2}{\delta} \right)_{M,S} - (1 + \mu) \bar{a}_{\text{P}} \left(\frac{\partial \Theta}{\partial \xi} \frac{d\eta_S}{d\xi} - \frac{\partial \Theta}{\partial \eta} \frac{\eta_{\text{K}}^2}{\delta} \right)_{\text{P,S}} = -\frac{U}{\gamma} \frac{\partial \eta_S}{d\xi}, \quad (10)$$

$$\xi = 0: \quad \eta_S = 0, \quad \gamma = c_T R T_{\text{H}}^2 / q E;$$

$$\bar{\Phi} = -\bar{D}_* \left(\frac{\partial c}{\partial \eta} \right)_*; \quad (11)$$

$$\bar{a}_{\text{P}} \left(\frac{\partial \Theta}{\partial \eta} \right)_* = \left(\frac{1}{\gamma_{\text{ад}}} + \frac{1 + \beta \Theta_{*}}{\beta} \right) \delta \bar{D}_* \left(\frac{\partial c}{\partial \eta} \right)_* + \bar{V} \bar{\delta} \frac{\bar{G}_{\text{Ф}}}{\eta_{\text{K}}} \frac{\partial \Theta_{*}}{d\xi} + \frac{\delta}{\eta_{\text{K}}^2} \varepsilon \bar{a} \frac{d^2 \Theta_{*}}{d\xi^2},$$

$$\bar{G}_{\text{Ф}} = \frac{l_1 \rho u_{\text{Ф}}}{a_{\text{m}} \rho_{\text{П}}}; \quad \varepsilon = \frac{\rho l_1}{\rho_{\text{П}} l_2}; \quad \gamma_{\text{ад}} = \frac{c_T R T_{\text{H}}^2}{g_{\text{ад}} E}; \quad (12)$$

$\bar{a} = a/a_{\text{m}}$ — коэффициент температуропроводности газа; $\eta_S = y_S/l_2$ — полнота превращения твердого реагента ($0 \leq \eta_S \leq \eta_{\text{K}} \leq 1$).

В уравнения системы (6)–(12) входит параметр δ , равный отношению масштабных значений коэффициентов диффузии и температуропроводности. Его величина существенно меньше единицы, так как теплоперенос в конденсированной среде протекает значительно интенсивнее диффузии. Это обстоятельство, как и при рассмотрении горения конденсированных систем в работе [8], дает возможность существенно упростить исходную постановку задачи, сведя уравнение теплопроводности к виду, содержащему лишь производные от температуры по продольной координате. Действительно, в пределе $\delta = 0$ непосредственно из уравнения (7) следует $\Theta = \Theta(\xi)$. Последнее означает, что при достаточно малых, но отличных от пуля значениях δ температура $\Theta(\xi, \eta)$ вместе с производными $\frac{\partial \Theta}{\partial \xi}$ и $\frac{\partial^2 \Theta}{\partial \xi^2}$ слабо зависит от η . Учитя это, проинтегрируем почленно по η

уравнение (7) в интервалах $0 \leq \eta \leq \eta_s$ и $\eta_s \leq \eta \leq 1$. Сложив результаты и использовав условия теплового баланса (10) и (12), получим приближенное соотношение в форме уравнения теплопроводности

$$\left[(1 + \mu) \eta_s U + (1 - \eta_s) U + \frac{1 + \mu}{V\delta} \eta_k \bar{G}_\Phi \right] \frac{d\Theta}{d\xi} = \frac{d}{d\xi} \left(a_\Sigma \frac{d\Theta}{d\xi} \right) + \frac{U}{\gamma} \frac{d\eta_s}{d\xi}, \quad (13)$$

отражающее в квазидномерном виде закономерности теплопереноса в рассматриваемой гетерогенной системе, где $a_\Sigma = (1 + \mu)\bar{a}_n\eta_s + 1 - \eta_s$ — эффективный коэффициент температуропроводности.

Уравнение (13) может быть упрощено, если учесть, что с точностью до малых величин порядка ρ/ρ_m коэффициент при производной $\frac{d\Theta}{d\xi}$ пропорционален полному потоку вещества $\rho_m u l_2 (1 + \mu \eta_k)$ в слое шириной $l_1 + l_2$. В итоге задача о распространении горения сводится к интегрированию уравнения теплопроводности

$$(1 + \mu \eta_k) U \frac{d\Theta}{d\xi} = \frac{d}{d\xi} \left(a_\Sigma \frac{d\Theta}{d\xi} \right) + W$$

с граничными условиями

$$\xi = \xi_n: \Theta = 0, \quad \xi = \xi_k: \frac{d\Theta}{d\xi} = 0$$

и функцией источника $W = \frac{U}{\gamma} \frac{\bar{d}\eta_s}{d\xi}$, вид которой может быть определен совместным решением диффузационной (в приближении $\delta = 0$)

$$\begin{aligned} U \frac{\partial c}{\partial \xi} &= \eta_k^2 \frac{\partial}{\partial \eta} \left(\bar{D} \frac{\partial c}{\partial \eta} \right), \\ \eta = 0: c &= c_*, \quad \eta = \eta_s: c = c_s, \quad \xi = \xi_k: \frac{\partial c}{\partial \xi} = 0, \\ \frac{d\eta_s}{d\xi} &= \frac{(1 + \mu) \bar{D} \eta_k^2}{[\mu + (1 + \mu) c_s] U} \left(\frac{\partial c}{\partial \eta} \right)_S, \\ \xi = 0, \quad \eta_s &= 0 \end{aligned} \quad (14)$$

и фильтрационной задачи

$$\begin{aligned} \frac{d}{d\xi} \left(\frac{1}{1 + \beta \Theta} \frac{d\pi^2}{d\xi} \right) &= -\omega \eta_k^2 \bar{D} \left(\frac{\partial c}{\partial \eta} \right)_*, \\ \xi = \xi_n: \pi &= 1, \quad \xi = \xi_k: \frac{d\pi}{d\xi} = 0. \end{aligned} \quad (15)$$

Для определения вида функции W обратимся к уравнению (14). Считая процесс диффузационного переноса активированным — $D = D(\Theta)$, переходя к новым переменным $\varphi = \eta/V\sigma$, $\sigma = \frac{\eta_k^2}{U} \int_0^\xi \bar{D}(\Theta) d\xi$ и принимая во внимание очевидное преобладание в пленке продукта поперечного градиента концентрации над продольным, преобразуем уравнение диффузии к виду

$$\begin{aligned} 2 \frac{d^2 \bar{c}}{d\varphi^2} + \varphi \frac{d\bar{c}}{d\varphi} &= 0, \\ \varphi = 0: \bar{c} &= 1, \quad \varphi = \varphi_S: \bar{c} = 0, \quad \bar{c} = \frac{c_* - c_s}{c_* - c_s}. \end{aligned}$$

Его решение определяет поле концентрации окислителя в твердой фазе

$$c = c_* - (c_* - c_s) \operatorname{erf}(\varphi/2)/\operatorname{erf}(\varphi_S/2), \quad (16)$$

где $\operatorname{erf}(\varphi/2) = \frac{2}{\sqrt{3.14}} \int_0^{\varphi/2} \exp(-t^2) dt$. Воспользовавшись решением (16), вычислим производную

$$\frac{d\eta_S}{d\xi} = \frac{(1+\mu)(c_* - c_S) \eta_K^2 \bar{D} \exp(-\varphi_S^2/4)}{\sqrt{3,14\sigma} U [\mu + (1+\mu)c_S] \operatorname{erf}(\varphi_S/2)}.$$

Упростим полученное выражение, выделяя в нем в качестве определяющей температурную зависимость $\bar{D}(\Theta)$ и пренебрегая членами, содержащими³ c_S :

$$\frac{d\eta_S}{d\sigma} = \frac{(1+\mu)c_{*0} \exp(-\varphi_S^2/4)}{\mu \sqrt{3,14\sigma} \operatorname{erf}(\varphi_S/2)}, \quad (17)$$

где $c_{*0} = b(\Theta_K) \pi_0^n$ — характерная поверхностная концентрация в пределах зоны реакции. Непосредственной подстановкой легко убедиться, что решением уравнения (17) является функция вида

$$\eta_S = \varphi_S \sqrt{\sigma}, \quad (18)$$

где φ_S — постоянная, удовлетворяющая соотношению

$$\varphi_S \operatorname{erf}(\varphi_S/2) = \alpha \exp(-\varphi_S^2/4). \quad (19)$$

Здесь $\alpha = 2(1+\mu)c_{*0}/\mu \sqrt{3,14}$.

Решая (19) численно, легко убедиться, что функция $\varphi_S(\alpha)$ — монотонно возрастающая и обращается в нуль при $\alpha = 0$. Причем, когда $\alpha < 1$, что характерно для фильтрационных систем, величина $\varphi_S < 1$. Однако в этом случае допустимы приближения $\exp(-\varphi_S^2/4) \approx 1$, $\operatorname{erf}(\varphi_S/2) \approx \varphi_S/2$, и решение (19) удовлетворительно аппроксимируется зависимостью

$$\varphi_S^2 = 4(1+\mu)c_{*0}/\mu \sqrt{3,14}.$$

Постоянство φ_S в зоне горения позволяет определить функцию источника в простейшем виде, найдя производную $d\eta_S/d\sigma$ дифференцированием уравнения (18)

$$\frac{d\eta_S}{d\sigma} = \frac{\varphi_S^2}{2\eta_S}. \quad (20)$$

Обратимся теперь к уравнению энергии, перейдя в нем к переменной σ :

$$(1 + \mu\eta_K) U^2 \frac{d\Theta}{d\sigma} = \frac{d}{d\sigma} \left(a_\Sigma \eta_K^2 \bar{D} \frac{d\Theta}{d\sigma} \right) + \frac{U^2}{\gamma} \frac{d\eta_S}{d\sigma}, \quad (21)$$

$$\sigma = \sigma_n: \Theta = \eta_S = 0, \quad \sigma = \sigma_K: \frac{d\Theta}{d\sigma} = 0.$$

Взяв его первый интеграл

$$\frac{d\Theta}{d\sigma} = U^2 [\eta_K - \eta_S - \gamma(1 + \mu\eta_K)(\Theta_K - \Theta)] / a_\Sigma \eta_K^2 \bar{D},$$

и перейдя с помощью (20) к координате η_S , получим

$$\frac{d\Theta}{d\eta_S} = \frac{2\eta_S U^2 [\eta_K - \eta_S - \gamma(1 + \mu\eta_K)(\Theta_K - \Theta)]}{a_\Sigma \gamma \eta_K^2 \varphi_S^2 \bar{D}}. \quad (22)$$

Повторное интегрирование (22) в пределах зоны горения при использовании обычного приема линеаризации показателя экспоненты определяет скорость распространения горения как явную функцию тепловых, фильтрационных (через давление p_0), сорбционных и структурных характеристик среды:

$$U^2 = \frac{\gamma \eta_K^2 \varphi_S^2 (1 + \beta\Theta_K)^2}{2f(\eta_K)} \quad (23)$$

или в размерном виде

$$u^2 = \frac{2z\alpha_M (1 + \mu) b(T_K) p_0^n c_T R T_K^2 \exp(-E/RT_K)}{\mu \sqrt{3,14} l_2^2 q E f(\eta_K)}, \quad (24)$$

³ Согласно имеющимся опытным данным [6], как правило, $c_* \gg c_S$.

где $f(\eta_k) = \eta_k \Delta^{-2} [\Delta \eta_k - \ln(\Delta \eta_k + 1)] - \Delta^{-3} [\Delta \eta_k + 1]^2/2 - 2\Delta \eta_k - 0,5 + \ln(\Delta \eta_k + 1)$ — слабая функция η_k ; $\Delta = (1 + \mu)\bar{a}_n - 1$. Согласно (24), скорость горения будет определена, если известны параметры p_0 , T_k , η_k . Значение конечной температуры процесса определяется первым интегралом (24) в точке $\Theta = 0$, $\eta_s = 0$

$$\Theta_k = \frac{\eta_k}{\gamma(1 + \mu \eta_k)}. \quad (25)$$

Величины p_0 и η_k могут быть найдены лишь с учетом фильтрационных закономерностей. Обратимся к уравнению фильтрации (15). Переходя во внешней производной в его левой части к переменной σ и раскрыв с помощью (16) производную в правой части, с учетом ранее принятых оценок ($\varphi_s < 1$, $c_s \ll 1$) получим первый интеграл (15)

$$\frac{d\pi^2}{d\xi} = -\frac{\mu\omega}{1 + \mu} U (1 + \beta\Theta) (\eta_k - \eta_s). \quad (26)$$

Проинтегрируем (26) еще раз, ограничиваясь пределами зоны реакции. Полагая, что фильтрация здесь протекает в условиях, близких к изотермическим, и переходя предварительно к переменной η_s , найдем соотношение, связывающее между собой характерные давления π_0 и π_k

$$\pi_0^2 = \pi_k^2 + \left(\frac{\mu U}{1 + \mu} \right)^2 \frac{V\sqrt{14}\omega\eta_k(1 + \beta\Theta_k)}{12c_{*0}}. \quad (27)$$

С другой стороны, интегрирование (26) по всей длине слоя в пренебрежении фильтрационным сопротивлением волны горения⁴ определяет конечное давление в зависимости от местоположения фронта пламени

$$\pi_k^2 = 1 - \frac{\mu\omega\eta_k}{1 + \mu} U \xi_{пл}, \quad (28)$$

где $\xi_{пл} = -\xi_n$ — расстояние между фронтом горения и холодным концом слоя.

При развитии фильтрационного горения, как впервые отмечено в [1], могут быть реализованы две возможные ситуации, когда в роли фактора, лимитирующего скорость процесса, выступает либо кинетика реакции, в данном случае — диффузионная (кинетический режим), либо фильтрация окислителя к зоне горения (фильтрационный режим). Соответственно этому процесс нарастания пленки продукта завершается либо из-за полного выгорания твердого реагента при еще не исчерпанных полностью возможностях механизма подвода окислителя ($\eta_k = 1$, $\pi_k > 0$), либо вследствие недостаточной интенсивности фильтрации последнего ($\eta_k < 1$, $\pi_k = 0$). Эта альтернатива отражается соотношением $\pi_k(1 - \eta_k) = 0$, образующим вместе с (23), (25), (27), (28) замкнутую систему уравнений. Ее решение позволяет определить характерные параметры процесса u , η_k , Θ_k , π_0 , π_k и рассмотреть его основные закономерности.

Представим полученные соотношения в виде, удобном для дальнейшего анализа,

$$U^2 = A\pi_0^n, \quad \pi_k^2 = 1 - BU\xi_{пл}, \quad \pi_0^2 = \pi_k^2 + CU^2/\pi_0^n, \quad (29)$$

где A , B , C — известные функции Θ_k и η_k . Комбинируя уравнения системы (29), получим соотношение для определения конечного давления

$$[(1 - \pi_k^2)/(B\xi_{пл})]^2 = A(\pi_k^2 + AC)^{n/2}. \quad (30)$$

Обозначив его левую и правую части соответственно через $S_1(\pi_k^2, \xi_{пл})$ и $S_2(\pi_k^2)$, определим вид этих функций в интервале $0 \leq \pi_k^2 \leq 1$, отвечающем кинетическому режиму горения. При этом $\eta_k = 1$, а величины A ,

⁴ Такое приближение допустимо лишь для слоя достаточно большой протяженности, существенно превосходящей ширину зоны тепловой релаксации в волне горения.

Рис. 2. К графоаналитическому анализу решения уравнения (30).

B, C — заранее известные константы. Функции семейства S_1 — вогнутые и монотонно убывающие с ростом π_k^2 и $\xi_{пл}$, причем $S_1(0) = (B\xi_{пл})^{-2}$, а $S_1(1) = 0$ (рис. 2). Функция S_2 — наоборот, выпуклая, монотонно возрастающая, $S_2(0) = A(AC)^{n/2}$. Пересечение кривых S_1 и S_2 определяет величину конечного давления π_k . Так как $S_1 \sim \xi_{пл}^{-2}$, то всегда найдется такое достаточно малое расстояние $\xi_{пл} \neq 0$, при котором в точке пересечения будет $\pi_k^2 > 0$. С ростом $\xi_{пл}$ величина π_k убывает. При некотором критическом значении $\xi_{пл} = \xi_{кр}$ кривые S_1 и S_2 лишь соприкасаются в точке $\pi_k = 0$, отвечающей предельному состоянию ($\eta_k = 1, \pi_k = 0$), в котором

$$\xi_{кр} = [AB^2(AC)^{n/2}]^{-0.5}. \quad (31)$$

Дальнейшее увеличение $\xi_{пл} > \xi_{кр}$ приводит к разъединению кривых S_1 и S_2 , означающему потерю решения при $\eta_k = 1$ и переход к фильтрационному режиму горения. Таким образом, при распространении по слою пористого реагента волна горения последовательно проходит через фильтрационную и кинетическую стадии. При этом ее скорость непрерывно возрастает. Действительно, учитя связь (25) между Θ_k и η_k и выделяя в (30) наиболее сильную зависимость от η_k , получим для фильтрационного режима горения $\xi_{пл} \sim [b(\Theta_k) \eta_k^{4+1,5n}]^{-0.5}$. Так как константа растворимости обычно возрастает с температурой, то, согласно полученной оценке, приближение волны горения к холодному торцу слоя должно сопровождаться возрастанием η_k и Θ_k . Последнее, согласно (24), увеличивает скорость горения.

В кинетическом режиме из (29) для определения скорости горения получим уравнение $U^{4/n} + A^{2/n} \cdot B\xi_{пл} \cdot U - A^{2/n}(1 + AC) = 0$. Его дифференцирование дает $\frac{dU}{d\xi_1} = -A^{2/n} \cdot BU / \left(\frac{4}{n} U^{4/n-1} + BA^{2/n}\xi_{пл} \right) < 0$, что также означает ускорение волны горения по мере ее приближения к холодному концу слоя.

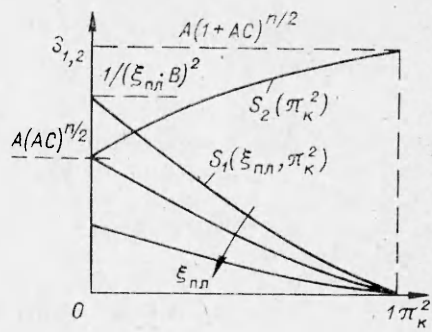
Полученные выше результаты согласуются с выводами работ [1—3], посвященных аналитическому и численному исследованию фильтрационного горения на основе квазигомогенного подхода.

Наряду с этим представляется возможным проследить за развитием горения в зависимости от изменения диффузационных и структурных свойств среды, т. е. от тех ее параметров, роль которых не может быть выявлена на основе модели сплошной среды. В частности, согласно (24), улучшение газопоглощающей способности твердой фазы (увеличение константы растворимости) должно сопровождаться возрастанием скорости горения. Такой же эффект достигается и при улучшении диффузационной проницаемости пленки продукта, например, вследствие роста коэффициента диффузии D . Влияние характерного размера l_2 на скорость горения носит более сложный характер. Принимая, согласно (29),

$$u \sim \frac{\sqrt{A\pi_0^n}}{\eta_k l_2} \exp(-E/2RT_k) \quad (32)$$

и учитывая, что измельчение частиц в дисперсных средах ведет к более плотной их упаковке, рассмотрим два предельных состояния.

В слое с преобладанием крупнодисперсных частиц проницаемость среды достаточно велика, и горение протекает в кинетическом режиме при



$\pi_0 \approx 1$. Так как в этом случае $\eta_k = 1$ и конечная температура независимо от размера частиц $T_k = T_n + \frac{q}{c_T(1+\mu)}$, то из (32) следует $u \sim l_2^{-1}$.

В сильноуплотненных, мелкодисперсных средах, наоборот, слабо выраженный фильтрационный перенос ограничивает интенсивность горения и полноту превращения твердого реагента: Давление окислителя в зоне реакции при этом срабатывает до пуля. Поэтому параметр $\pi_0 \ll 1$ и его величина существенна для определения скорости горения. Входящие в (32) T_k и η_k определяются режимом фильтрации и, следовательно, являются функциями l_2 . Все это усложняет характер зависимости $u(l_2)$. Ее, однако, можно упростить, воспользовавшись следующим из (29) при $\pi_k = 0$ определением $A\pi_0^n = (B\xi_{\text{пл}})^{-2}$. Подставив это в (32), раскрыв B и пренебрегая зависимостью от η_k по сравнению с экспоненциальной, получим

$$u \sim \frac{mk_\Phi}{l_2} \exp(-E/2RT_k). \quad (33)$$

Здесь $m \approx l_1/l_2$ — пористость среды.

Основываясь на данных, представленных в [9, 10], примем приближенно, что $m \sim l_2^S$, а $k_\Phi \sim l_2^2$, где $S < 1$. Следовательно, $mk_\Phi \sim l_2^{2+S}$. Учитя это, а также полученную при интегрировании уравнения фильтрации (5) оценку $mk_\Phi \sim uT_k^2$, преобразуем функциональную зависимость (33) к виду

$$u \sim l_2^{1+S} \exp(-E\sqrt{u}/2Rl_2^{1+S/2}),$$

свидетельствующему о нарастающем характере $u(l_2)$ в мелкодисперсных средах.

С физической точки зрения полученный результат отражает определяющую роль различных стадий массопереноса при горении в зависимости от дисперсных частиц в слое. В плотных засыпках, где скорость горения определяется интенсивностью фильтрации окислителя, рост размеров частиц, стимулируя фильтрационный перенос, увеличивает скорость распространения горения. Однако одновременно транспорт окислителя в зоне реакции затрудняется на диффузионной стадии. В этих условиях снижение скорости распространения горения при дальнейшем укрупнении частиц является следствием определяющего влияния роста диффузионного сопротивления пленки продукта.

Как и скорость горения, протяженность зоны полного превращения является важным параметром, отражающим динамику химического превращения в слое конечной длины. На ее величину несомненно оказывают влияние не только фильтрационные, но и сорбционные характеристики твердой фазы. Действительно, увеличение диффузионной проницаемости частиц, отвечающее, согласно (3), убыванию E , ведет к росту коэффициента A при постоянных B и C . Следствием этого по (31) является убывание $\xi_{\text{ср}}$.

Улучшение газопоглощающей способности твердой фазы, связанное с ростом константы растворимости, сопровождается увеличением A при постоянных B и C . Оно также приводит к сокращению зоны полного превращения. Напротив, расширению последней способствует рост размеров

частиц. Действительно, при увеличении $l_2 \sim o^{-\frac{1}{2+S}}$ коэффициенты B и C убывают, A — постоянно, а $\xi_{\text{ср}}$ возрастает.

В заключение отметим еще одно обстоятельство, вытекающее из оценки отношения протяженности зоны реакции к линейному масштабу l_2 .

Оно достаточно велико ($l_x^0/l_2 \sim \delta^{-\frac{1}{2}} \gg 1$). Тем самым при анализе горения оправдывается использование квазигомогенной модели среды с учетом присущей ей и отмеченных выше ограничений.

В настоящей работе рассмотрен случай горения с образованием твердых продуктов реакции, однако принятый подход при соответствующем усложнении расчетной схемы может быть распространен на более общий случай горения газообразующих систем.

Поступила в редакцию 18/XI 1982,
после доработки — 30/V 1983

ЛИТЕРАТУРА

1. А. П. Алдушин, А. Г. Мержанов, Б. И. Хайкин. Докл. АН СССР, 1974, 512, 3.
2. А. П. Алдушин, Т. П. Ильева, А. Г. Мержанов и др.— В кн.: Процессы горения в химической технологии и металлургии. Черноголовка, 1975.
3. А. П. Алдушин, Б. С. Сенчирский. Теория фильтрационного горения пористых металлических образцов. Препринт. Черноголовка, 1977.
4. И. П. Боровинская, А. И. Питюлин. ФГВ, 1978, 14, 1.
5. А. Н. Питюлин, В. А. Щербаков, И. П. Боровинская и др. ФГВ, 1979, 15, 4.
6. К. Хауффе. Реакции в твердых телах и на их поверхности. М.: Металлургия, 1962.
7. А. Д. Ландшафт, Е. М. Либшиц. Статистическая физика. М.: Наука, 1976.
8. А. П. Алдушин, Б. И. Хайкин. ФГВ, 1974, 10, 3.
9. С. С. Забродский. Гидродинамика и теплообмен в псевдоожженном слое. М.—Л.: Госэнергоиздат, 1963.
10. В. И. Аравин, С. Н. Нумеров. Теория движения жидкостей и газов в недеформируемой пористой среде. М.: ГИТТЛ, 1953.

РАЗВИТИЕ ФИЛЬТРАЦИОННОГО ГОРЕНИЯ В ПЛОСКОМ СЛОЕ ПОРИСТОГО ВЕЩЕСТВА

Н. Н. Столярова, Г. С. Сухов

(Ленинград)

В последние годы интенсивно развиваются исследования по горению металлов, например, [1—6]. Последние ориентированы прежде всего на изучение особенностей развития высокотемпературного синтеза в зависимости от физико-химических свойств реагентов, внешних условий и способов организации процесса. Объектом выполненных до настоящего времени экспериментов были, как правило, образцы цилиндрической формы, приготовленные либо из химически активной смеси порошкообразных металла и неметалла, либо из порошкообразного металла, способного гореть в атмосфере газообразного окислителя. Наряду с этим определенный интерес представляют процессы, развивающиеся в слоях вещества различной конфигурации.

В настоящей работе обсуждаются некоторые результаты экспериментального исследования горения порошкообразного металла в плоских засыпках при подводе окислителя через открытую свободную поверхность.

Опыты проводились в атмосфере азота с порошкообразным титаном марки НТС с эффективным размером частиц $3 \cdot 10^{-4}$ м. Горение осуществлялось в слоевых засыпках размером $0,05 \times 0,105$ м при трех фиксированных значениях высоты $H = 5, 10$ и 15 мм и насыпной плотности порошка $(1,86 \pm 0,06) \cdot 10^3$ кг/м³. Образцы располагались на подложке из оgneупорного шамота с теплопроводностью $\lambda = 1,167$ Вт/(м · К) и помещались в барокамеру постоянного давления объемом 0,02 м³, оснащенную системами откачки воздуха, подачи окислителя, поджигания, а также различными средствами наблюдения за развитием горения. Образцы поджигались от источника постоянного тока с помощью устройства, состоящего из вольфрамовой нити диаметром 0,55 мм, погруженной в слой легковоспламеняющегося мелкодисперсного титанового порошка. Такой способ обеспечивал достаточно высокую стабильность и однородность (по поперечному сечению) воспламенения исследуемых